

# О СЕЧЕНИИ АННИГИЛЯЦИИ НУКЛОНА И АНТИНУКЛОНА ПРИ НЕРЕЛЯТИВИСКИХ ЭНЕРГИЯХ

*В.Г.Ксенозов, А.Е.Кудрявцев*

В рамках схемы связанных каналов для низкоэнергетического  $N\bar{N}$ -взаимодействия показано, что в случае малого радиуса аннигиляции  $r_a \sim m_N^{-1} \sim 0,2 \text{ fm}$  и сильного притяжения возможно согласованное описание малых ширин квазидерных мезонов ( $\Gamma \sim 10 + 30 \text{ MeV}$ ) и больших сечений аннигиляции. Сечение аннигиляции медленных  $N\bar{N}$  при этом отклоняется от закона  $1/r$ . Характер отклонения зависит от потенциального взаимодействия  $N\bar{N}$ .

Недавно в работе [1] для изучения влияния аннигиляции на положение и ширину связанного состояния нуклона и антинуклона была предложена простая нерелятивистская модель двух связанных каналов  $h$  и  $l$ . Канал  $h$  отвечал тяжелым частицам с массой  $m$  и был аналогом системы  $N\bar{N}$ . Между  $N$  и  $\bar{N}$  действовал потенциал притяжения  $V_h(r)$ , приводящий к образованию квазидерных резонансов [2]. Канал  $l$  был аналогом бозонного аннигиляционного канала и описывал легкие частицы с массой  $\mu < m$ . Переходы между каналами осуществлялись с помощью короткодействующего потенциала  $V_{lh}$ , который для простоты выбирался в сепарабельной форме:  $V_{lh} = \lambda g(r)g(r')$ , где  $g(r) = \exp[-r/r_a]/r$ . В работе [1] было показано, что при любой константе  $\lambda$  ширины и сдвиги резонансов за счет аннигиляции остаются малыми и составляют величину порядка  $10 + 30 \text{ MeV}$  при условии, что отношение радиуса потенциала аннигиляции  $r_a$  к радиусу  $R$  связанного состояния мало ( $r_a/R \sim 10^{-1}$ ).

Существующие экспериментальные данные по взаимодействию  $N\bar{N}$  при низких энергиях ( $E_{\text{с.т}} \gtrsim 25 \text{ MeV}$ ) говорят о том, что сечение аннигиляции  $(\sigma v)_{\text{ан}} \approx 26 \text{ mb}$  не намного меньше сечения упругого рассеяния  $\sigma_{el} \sim 100 \text{ mb}$  (мы работаем в системе единиц  $c = \hbar = 1$ ). Возникает вопрос, можно ли при малом радиусе аннигиляции получить большую величину аннигиляционного сечения, сравнимую с сечением упругого рассеяния?

Положительный ответ на этот вопрос был дан в работе И.С.Шапиро [3]. Сечение  $p\bar{p}$ -аннигиляции определялось формулой  $(\sigma v)_{\text{ан}} = (\bar{\sigma}v)_{\text{ан}} \times \times |\psi_v(0)|^2$ , в которой величину  $(\sigma v)_{\text{ан}}$  можно было получить из размерных соображений:  $(\bar{\sigma}v)_{\text{ан}} \sim 2\pi r_a^2$ , а квадрат модуля волновой функции непрерывного спектра в нуле  $\psi_v(0)$  определял коэффициент усиления сечения аннигиляции.

Представляется важным получить выражения для сечения аннигиляции в точно решаемой модели связанных каналов. Для нахождения амплитуд удобно записать уравнение Шредингера в интегральной форме:

$$\hat{\Psi} = \hat{\Psi}_0 + \int \hat{G} \hat{V} \hat{\Psi}, \quad (1)$$

где  $\hat{\Psi}$  есть столбец  $\begin{pmatrix} \psi_h \\ \psi_l \end{pmatrix}$ ; функция Грина  $\hat{G}$  — диагональная матрица:  $G = \begin{pmatrix} G_h & 0 \\ 0 & G_l \end{pmatrix}$ , причем  $G_h = \left[ E - \frac{p^2}{m} - V_h(r) \right]^{-1}$ ,  $G_l = \left[ E + 2(m-\mu) - \frac{k^2}{\mu} \right]^{-1}$ , а взаимодействие  $\hat{V}$  учитывает смешивание каналов:  $\hat{V} = \begin{pmatrix} 0 & V_{hl} \\ V_{lh} & 0 \end{pmatrix}$ . Для нахождения амплитуд упругого рассеяния и аннигиляции необходимо найти решение уравнения (1) в виде: "плоская + расходящаяся волна" в канале  $h$  и "расходящаяся волна" в канале  $l$ . Для этого выбираем  $\hat{\Psi}_o = \begin{pmatrix} \psi_{ho} \\ 0 \end{pmatrix}$ , где  $\psi_{ho}$  — решение в искомом виде в канале  $h$  без учета взаимодействия  $V_{hl}$ . Учитывая сепарабельность  $V_{hl}$ , легко выписать решение уравнения (1):

$$\left\{ \begin{array}{l} |\psi_h\rangle = |\psi_{ho}\rangle + \lambda^2 G_h |g\rangle \frac{\langle g|G_l|g\rangle \langle g|\psi_{ho}\rangle}{1 - \lambda^2 \langle g|G_h|g\rangle \langle g|G_l|g\rangle} \\ |\psi_l\rangle = \lambda G_l |g\rangle \frac{\langle g|\psi_{ho}\rangle}{1 - \lambda^2 \langle g|G_h|g\rangle \langle g|G_l|g\rangle} \end{array} \right. \quad (2)$$

Коэффициент при расходящейся волне в  $|\psi_l\rangle$  определяет амплитуду перехода  $f_{hl}$  тяжелых частиц в легкие. В выражении для  $|\psi_l\rangle$  из (2) в качестве сомножителя содержится матричный элемент  $\langle g|\psi_{ho}\rangle$ . Эту величину легко оценить, учитывая малость отношения  $r_a/R$ :

$$\langle g|\psi_{ho}\rangle \approx \psi_v^{(ho)}(0) \frac{4\pi}{\beta^2 + p^2}, \quad (3)$$

где  $p = mv$  — импульс частиц  $h^1$ , а  $\beta = r_a^{-1}$ . Для  $p \ll \beta$  асимптотика выражения для  $\psi_l(r)$  на больших расстояниях имеет вид

$$|\psi_l\rangle_{r \rightarrow \infty} = \frac{e^{ik_o r} 2\lambda_o r_a \psi_v^{(ho)}(0)}{r(1 - \lambda^2 \langle g|G_h|g\rangle \langle g|G_l|g\rangle)} = \frac{e^{ik_o r} f_{hl}}{r}. \quad (4)$$

Отсюда видно, что появившаяся из оценки (3) величина  $\psi_v^{(ho)}(0)$  входит в  $f_{hl}$  в качестве множителя и, как будет показано ниже, приводит к увеличению амплитуды  $f_{hl}$  ( $\lambda_o$  — безразмерная константа:  $\lambda = \lambda_o / 4\pi r_a^3 \sqrt{m\mu}$ ,  $k_o^2 = \mu(E + 2(m-\mu))$ ).

Заметим, что точное решение задачи (2) в явном виде отвечает следующему порядку суммирования графиков теории возмущений: в каждом по-

<sup>1</sup>) Такая оценка справедлива для не очень глубоких потенциалов  $V_h$ , таких что  $mV_h < \beta^2$ .

рядке по константе  $\lambda$  суммируется весь ряд теории возмущений по потенциальному  $V_h$  (так как всюду использовалась точная функция Грина  $G_h$ ). Как было отмечено в работе [3], такой порядок суммирования диаграмм приводит к ответу, не совпадающему с так называемым "точным решением" задачи на связанные состояния в оптическом потенциале, учитывающем аннигиляцию как мнимую часть потенциала [4]. Из-за неправильного порядка суммирования диаграмм в оптическом подходе для сечения аннигиляции не появляется коэффициент усиления  $|\psi_v(0)|^2$ , возникающий из формулы (3). Поэтому для описания большой величины аннигиляции автором работы [4] приходилось вводить большой радиус мнимой части потенциала, что приводило к исчезновению связанных состояний в системе  $NN$ .

В нашем подходе амплитуда  $f_{hl}$  получается большой и при малом радиусе аннигиляции  $r_a$ . Действительно, можно показать, что если в амплитуде рассеяния тяжелых частиц без учета связи каналов нет узких резонансов, то в знаменателе выражения для  $|\psi_l>(2)$  можно заменить точную функцию Грина  $G_h$  на свободную  $G_{ho}$ . После этого амплитуда  $f_{hl}$  приобретает вид

$$f_{hl} = \frac{2\lambda_o r_a}{1 - \lambda_o^2 \beta^4 (\beta - ip_o)^{-2} (\beta - ik_o)^{-2}} \psi_v^{(ho)}(0), \quad (5)$$

где  $p_o^2 = mE$ . Из (5) следует, что при  $|\lambda_o| \gg 1$  амплитуда  $f_{hl}$  по порядку величины есть  $r_a \psi_v^{(ho)}(0)$ , и мы приходим для сечения аннигиляции к формуле Шапиро:

$$(\sigma v)_{ah} = (\bar{\sigma}v)_{ah} |\psi_v(0)|^2, \quad (6)$$

$$\text{где } (\bar{\sigma}v)_{ah} \sim 4\pi r_a^2 \frac{k_o}{m} \sim 2,5 \text{ мэв}^1)$$

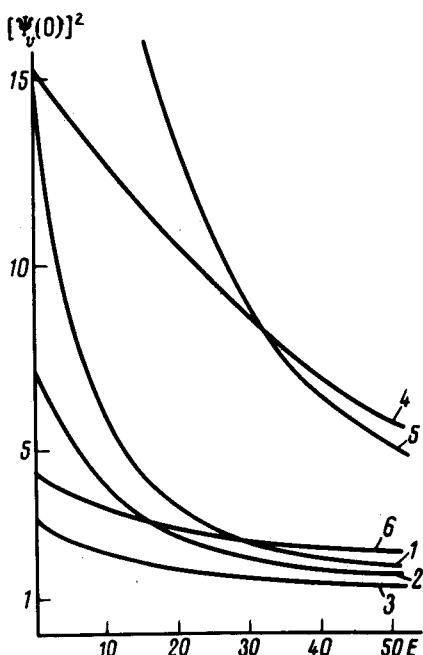
Исследуем теперь коэффициент усиления  $|\psi_v(0)|^2$ . В общем случае [5] он выражается через функцию Йоста  $f(-p)$ :  $|\psi_v(0)|^2 = 1/|f(-p)|^2$ . При малых энергиях, когда амплитуду рассеяния в конечном в нуле потенциале  $V_h$  определяет ближайший полюс с энергией связи  $\epsilon_{cb}$ , для  $|\psi_v(0)|^2$  можно привести простую формулу

$$|\psi_v(0)|^2 = \frac{U_o + E}{\epsilon_{cb} + E} \frac{1}{|\phi(v)|^2}, \quad (7)$$

в которой  $U_o$  — глубина ямы. Функция  $\phi(v)$  зависит от деталей потенциала, но для оценки по порядку величины может быть заменена еди-

<sup>1)</sup> Эта цифра получается при  $\mu = 780 \text{ мэв} = m_\omega$ . При  $\lambda_o^2 \approx 1$  в амплитуде (4) содержится дополнительное к оценке  $f_{hl} \approx r_a \psi_v(0)$  усиление вида  $\beta/k_o$ . Это усиление возникает от появляющегося при  $\lambda_o^2 = 1$  полюса на пороге легких частиц от связи каналов и мы это усиление в оценке  $f_{hl}$  не учитываем, так как оно возникает при специальном выборе константы  $\lambda_o^2 \approx 1$ .

ницей. Таким образом при  $U_0/\epsilon_{\text{СВ}} \gg 1$  коэффициент усиления  $|\psi_v(0)|^2$  может быть велик. Для иллюстрации сказанного на рисунке изображены коэффициенты усиления  $|\psi_v(0)|^2$  для прямоугольной ямы. Реалистическим моделям  $N\bar{N}$  – взаимодействия отвечают такие глубины ямы  $U_0$ , при которых в яме имеется один или два уровня. Видно, что в среднем с ростом глубины ямы коэффициент усиления растет, становясь очень большим при тех значениях  $U_0$ , при которых возникает очередной уровень. Величину  $U_0$  можно оценить из сдвигов кулоновских уровней  $p\bar{p}$ -атома [6]. Сдвигу  $1S$  – уровня вверх на величину  $2\kappa_{\text{эв}}$  отвечает коэффициент усиления  $|\psi_v(0)|^2 = 7,3$  ( $U_0 \approx 90$  мэв). При этом  $(\sigma v)_{\text{ан}} = 18$  мэв. В случае такого же сдвига кулоновского уровня, возникающего от второго уровня в яме  $U_0$ , коэффициент усиления и соответственно сечение оказываются больше на порядок. Таким образом в нашей модели при малых ширинах аннигиляции (см. [1]) получаются большие аннигиляционные сечения.



Зависимость коэффициента усиления  $|\psi_v(0)|^2$  для прямоугольной ямы от энергии сталкивающихся частиц (в мэв): радиус ямы 1,2 ф. Различные графики отвечают различным значениям глубин потенциалов:  $U_1 = 70$  мэв;  $U_2 = 90$  мэв;  $U_3 = 120$  мэв;  $U_4 = 520$  мэв;  $U_5 = 550$  мэв;  $U_6 = 700$  мэв. Коэффициенты усиления на графике для  $U_4$  и  $U_5$  уменьшены вдвое

В заключение заметим, что, как следует из рисунка, коэффициент усиления  $|\psi_v(0)|^2$  падает с ростом энергии. Это должно приводить к отклонению сечения аннигиляции при низких энергиях от закона  $1/v$ : величина  $(\sigma v)_{\text{ан}}$  должна расти с уменьшением  $v$ . Характер роста определяется величиной  $\epsilon_{\text{СВ}} + E$ . При  $U_0 \gg E \gg \epsilon_{\text{СВ}}$  величина  $(\sigma v)_{\text{ан}}$  растет как  $1/v^2$ , причем, чем меньше величина  $\epsilon_{\text{СВ}}$ , тем круче рост  $(\sigma v)_{\text{ан}}$  для  $v \rightarrow 0$ .

Авторы благодарны И.С.Шапиро и В.Е.Маркушину за обсуждения и ценные замечания.

## Литература

- [1] Б.О.Кербиков, А.Е.Кудрявцев, В.Е.Маркушин, И.С.Шapiro. Письма в ЖЭТФ, 26, 505, 1977.
  - [2] И.С.Шapiro. УФН, 16, 173, 1973.
  - [3] I.S.Shapiro. Preprint ITEP- 88, 1977.
  - [4] F.Myhrer, A.W.Thomas. Phys. Lett., 64B, 59, 1976; F.Myhrer, A.Gersten. CERN Preprint TH- 2170, 1976.
  - [5] M.Goldberger, K.Watson. Collision Theory. New-York—London — Sydney 1964, p. 248.
  - [6] А.Е.Кудрявцев, В.Е.Маркушин, И.С.Шapiro. ЖЭТФ, 74, 432, 1978.
-